



## Araştırma Makalesi

# Doğal Polimer Bazlı Hidrojellerin Sentezi ve Karakterizasyonu

Betül Taşdelen<sup>1,\*</sup> , Ömer Faruk Güder<sup>2</sup> , Uğur Akyol<sup>3</sup> 

<sup>1</sup> Biyomedikal Mühendisliği Bölümü, Çorlu Mühendislik Fakültesi, Tekirdağ Namık Kemal Üniversitesi, Tekirdağ, Türkiye,  
59860

<sup>2</sup> Biyomedikal Mühendisliği, İstanbul Üniversitesi-Cerrahpaşa, İstanbul, Türkiye, 34119

<sup>1</sup>[btasdelen@nku.edu.tr](mailto:btasdelen@nku.edu.tr), <sup>2</sup>[omrfrkgdr@gmail.com](mailto:omrfrkgdr@gmail.com), <sup>3</sup>[uakyol@nku.edu.tr](mailto:uakyol@nku.edu.tr)

Geliş: 13.11.2023

Kabul: 21.12.2023

DOI: 10.55581/ejeas.1389940

**Öz:** Biyomedikal uygulamalarda pek çok kullanımı bulunan yumuşak doku genişleticiler cerrahi uygulamalarda karşımıza çıkmaktadır. Dental implantların osseointegrasyonunun sağlanmasında yumuşak doku genişleticiler önemli bir rol oynamaktadır. Bu çalışmada, kitosan (CS), hyaluronik asit (HA) ve jelatin (GEL) doğal polimerleri kullanılmıştır. CS, CS-HA, CS-GEL, GEL-HA ve CS-HA-GEL hidrojellerinin sentezi gerçekleştirilmiştir. HAP ile hidrojel sentezinde gama radyasyon kullanılmıştır. Fourier Dönüşümlü Kızılıötesi Spektroskopisi (FTIR) ve Taramalı Elektron Mikroskopu (SEM) ile karakterizasyonları yapılmıştır. Dinamik şişme testleri distile suda gerçekleştirilmiştir. Hidrojellerin şişme davranışları ve şişme kinetikleri belirlenmiştir. Çapraz bağlayıcı konsantrasyonunun ve farklı çapraz bağlayıcıların (glutaraldehit (GA) ve hidroksiapatit (HAP)) şişme davranışına etkisi değerlendirilmiştir. Hidrojellerin difüzyonunda Fickian mekanizması görülmüştür. Sonuçlar, en yüksek kütlece şişmeye ve en uygun şişme profiline sahip hidrofilik yapılı CS-HA-1 hidrojelinin biyomedikal uygulamalarda yumuşak doku genişletici olarak kullanılabileceği göstermektedir.

**Anahtar kelimeler:** Doğal polimerler, Doku genişletici, Hidrojel, Yumuşak doku genişlemesi

## Synthesis and Characterization of Natural Polymer Based Hydrogels

**Abstract:** Soft tissue expanders, which have many uses in biomedical applications, are also encountered in surgical applications. Soft tissue expanders play an important role in ensuring osseointegration of dental implants. In this study, natural polymers chitosan (CS), hyaluronic acid (HA) and gelatin (GEL) were used. Synthesis of CS, CS-HA, CS-GEL, GEL-HA and CS-HA-GEL hydrogels has been performed. Gamma radiation was used in hydrogel synthesis with HAP. They were characterized by Fourier Transform Infrared Spectroscopy (FTIR) and Scanning Electron Microscopy (SEM). Dynamic swelling tests were performed in distilled water. Swelling behavior and swelling kinetics of hydrogels were determined. The effect of cross-linker concentration and different cross-linkers (glutaraldehyde (GA) and hydroxyapatite (HAP)) on swelling behavior was evaluated. Fickian mechanism has been observed in the diffusion of hydrogels. The results show that the hydrophilic CS-HA-1 hydrogel with the highest mass swelling and the most suitable swelling profile can be used as a soft tissue expander in biomedical applications.

**Keywords:** Hydrogel, Natural polymers, Soft tissue expansion, Tissue expander

## 1. Giriş

Yüksek absorplama ve desorplama yeteneğine sahip hidrojeller, su varlığında suyun büyük bir kısmını ağ yapıları

icerisine alıp şişerken karakteristik olarak suda çözünmezler.

Hidrojellerin ağ yapısı ve hidrofilik fonksiyonel grupları absorplama yeteneğini belirler. Hidrofilik grupların çokça bulunması hidrojellerin şişme karakterini önemli ölçüde

\*Sorumlu yazar

E-mail adresi: [btasdelen@nku.edu.tr](mailto:btasdelen@nku.edu.tr) (B. Taşdelen)

arttırır. Fonksiyonel gruplarının ve çapraz bağlarının etkisiyle hidrojeller, su içerisinde bir denge hacmine kadar kütlesel ve hacimsel artarken şekillerini kaybetmeden karakteristik olarak şisherler. İstenilen özelliklere göre sentezlenebildiklerinden hidrojeller, canlı dokulara benzer eşsiz malzemeler arasında yer almaktadır [1,2]. Doğal polimerik hidrojeller canlı dokularda toksik etki göstermediklerinden yüksek biyoyumludur. Özellikle biyoteknoloji ve doku mühendisliği alanında doğal polimerik hidrojeller önemli malzemeler arasında yer almaktadır [3].

Yumuşak ya da sert dokuların genişlemesi, varoluştan beri devam eden fizyolojik olayların sonucunda meydana gelmektedir. Doku genişletme, dokulardaki eksikliklerin, mevcut dokuya benzer yapılı dokuların, farklı teknik, işlem ve farklı malzemelerin kullanılmasıyla yeni dokuların elde edilerek doku eksikliğinin giderilmesidir [4]. Plastik cerrahi ve dental uygulamalardaki doku kayıplarının giderilmesinde yumuşak dokuların genişletilmesi sıkılıkla bulunmaktadır. Çok sayıda ve çeşitli biyomalzemeler ile istenilen şekil ve boyutta tasarılanabilen hidrojeller, yumuşak doku genişletici olarak kullanılmaktadır [5].

Osseointegrasyon, implant ve kemik dokunun birbiriyle entegrasyonudur. Dental implantların başarısı osseointegrasyonun sağlanmasıyla doğrudan ilişkilidir [6]. Graftleme işleminde otojen kemik graftlerinin beslenmesi ve vaskülarizasyonun sağlanması, eksik kemik dokunun tamamlanmasında çok önemlidir. Otojen kemik graftleme tekniğinde kullanılan bu yöntem, gerilim olmadan primer kapatılma ve dokudaki mevcut yapının bozulmadan vaskülarizasyonun sağlanmasında yüksek potansiyelli çözüm olarak görülmektedir [7,8].

## 2. Literatür Özeti

1957 yılında ilk kez travmatik kulak deformitesi hastalarında preauriküler cildin genişletilmesi için balon tekniğini kullanan Neumann, lateks balon ile yumuşak doku genişleticileri kullanan ilk cerrah olmuştur [9].

Austad vd. (1982) silikon balon membranını geçirgen hale getirerek, çevre dokulardan ekstrasellüler sıvıları ozmotik kuvvetlerle içine çekerek kendiliğinden şişen yumuşak doku genişleticileri ortaya koymışlardır [10].

Downes vd. (1992) biyoyumlu özellikle, ozmotik kuvvetlerle şişen ve genişleyen poli (hidroksietil metakrilat) (pHEMA) hidrojelini doku genişletici olarak kullanmışlardır. Literatürde ilk kez hidrojeller doku genişletici olarak kullanılmıştır [11].

Wiese (1993) 2-vinil pirolidon-ko-metilmetakrilat hidrojelini kullanarak literatüre yeni bir doku genişletici hidrojel kazandırmıştır. Yaptığı çalışmaya hidrojellerin doku genişletici olarak kullanılabileceğini kanıtlamıştır [5].

Zeiter vd. (1998) yumuşak doku genişletici destekli graftleme tekniğini endosseous dental implant uygulamasında kullanmışlardır. Yumuşak doku genişleticilerle desteklenen graftleme tekniğinde sürecin kolaylaşlığı ve yüksek başarı sağladığı sonucuna ulaşmışlardır [12].

Von See vd. (2010) kemik graftleme uygulamalarında yeni oluşturdukları yumuşak doku genişletici hidrojeli

kullanmışlardır. Dokularda açılma, enfeksiyon ya da komplikasyon görülmeden yumuşak dokunun miktarca artışının başarılı şekilde gerçekleştiğini göstermişlerdir. Çalışma sonucunda yumuşak doku genişletici hidrojellerin kullanımının uygulamalardaki pozitif yanlarını ortaya koymışlardır [8].

Yumuşak doku genişleticilerin biyomedikal uygulamalardaki başarısı dikkat çekmektedir. Bu çalışmanın amacı, biyomedikal uygulamalarda kullanılmakta olan yumuşak doku genişletici hidrojellere alternatif oluşturabilecek, literatürden farklı biyopolimerler ve çapraz bağlayıcıların kullanıldığı yeni yumuşak doku genişletici hidrojeller ortaya koymaktır.

Bu amaç doğrultusunda CS, CS-HA, CS-GEL, GEL-HA ve CS-HA-GEL hidrojelleri sentezlenmiştir. Hidrojellerin karakterizasyonu ve şişme kinetikleri incelenmiştir. Çapraz bağlayıcı konsantrasyonunun ve farklı çapraz bağlayıcıların (GA ve HAP) şişme davranışına etkisi incelenmiştir.

## 3. Materyal ve Yöntem

Bu çalışmada kullanılan tüm kimyasallar herhangi bir işlem uygulanmadan doğrudan kullanılmıştır. Hidrojellerin sentezinde kullanılan kitosan (CS), hyaluronik asit (HA), jelatin (GEL), glutaraldehit (GA), hidroksiapatit (HAP), N,N'-Metilenbis (Akrilamid) (MBA), potasyum persulfat (KPS) ve asetik asit Sigma-Aldrich'ten satın alınmıştır. Hidrojellerin dinamik şişme testleri distile su içerisinde gerçekleştirilmiştir.

### 3.1. Hidrojellerin Sentezi

**Tablo 1.** Hidrojel formülasyonu

Hidrojel	CS (g)	HA (g)	GEL (g)	Çapraz Bağlayıcı
CS-1	0.1			GA (%0.6)
CS-2	0.2			GA (%0.4)
CS-HA-1	0.2	0.01		GA (%0.4)
CS-HA-2	0.2	0.01		HAP (0.01g)
CS-GEL	0.2		0.02	GA (%0.4)
GEL-HA		0.02	2.5	MBA/KPS (0.01g)
CS-HA-GEL	0.2	0.01	0.02	GA (%0.4)

Hidrojellerin sentezinde kullanılan polimer çeşitleri, polimer miktarları ve çapraz bağlayıcıları Tablo 1'de verilmiştir.

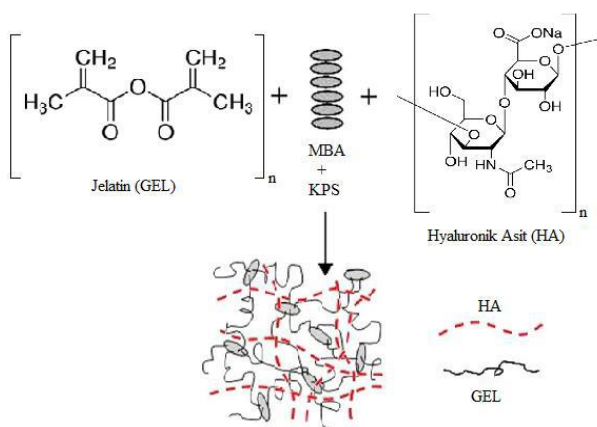
CS-1, CS-2, CS-HA-1, CS-GEL ve CS-HA-GEL -20 °C'de dondurarak jelleştirilmiştir. CS-GEL oda sıcaklığında serbest radikal zincir polimerizasyonu ile jelleştirilmiştir. CS-HA-2, 3 kGy/saat'lik gama radyasyon kaynağı (Co-60) kullanılarak (NORDION, JS9600, IR-185, KANADA) ile 25 kGy'de ışınlanmıştır.

Sentez sonrasında kuru ağırlıklardaki değişimlerden (1) ile hidrojellerin jelleşme yüzdesi hesaplanmaktadır [15].

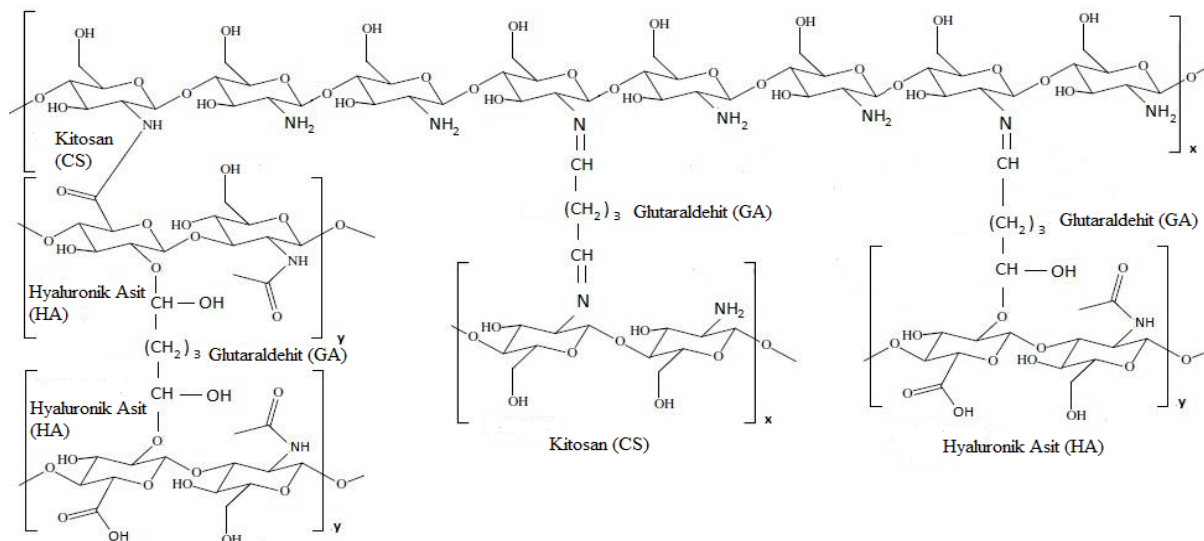
$$\text{Jelleşme (\%)} = \left( \frac{w_2}{w_1} \right) \times 100 \quad (1)$$

Burada  $w_1$  hidrojelin sentezi sonrasında kuru ağırlığı ve  $w_2$  hidrojelin çözelti içerisinde şişmesinden sonraki kuru ağırlığını göstermektedir [15].

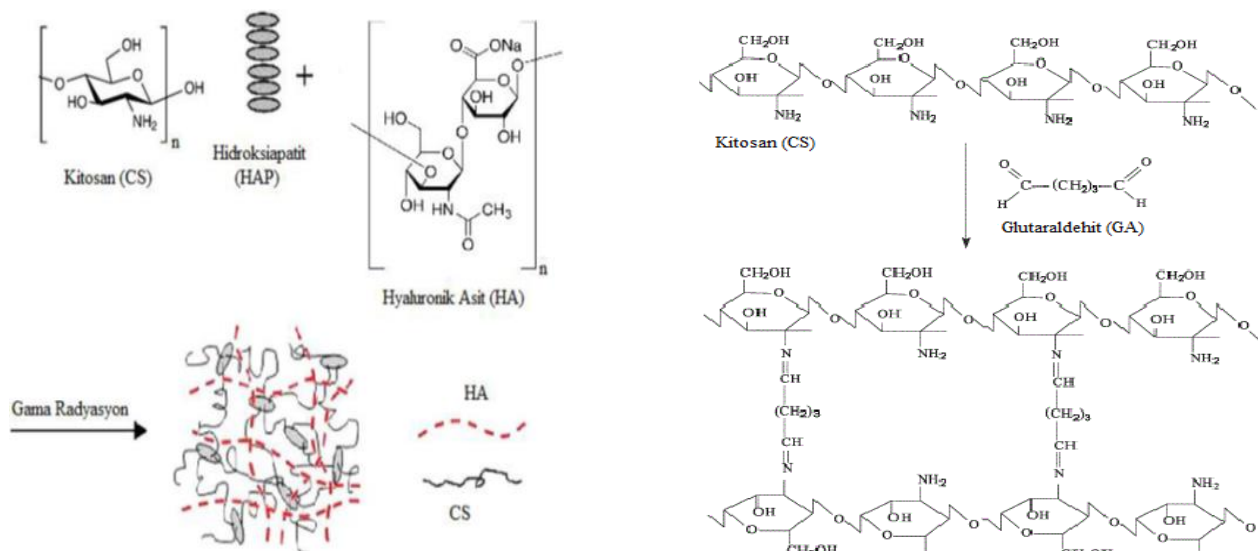
Şekil 1-6'da polimerlerin çapraz bağlayıcılar ile bağlanması ve hidrojellerin oluşum mekanizmaları verilmiştir.



**Sekil 1.** GEL-HA'nın oluşum mekanizması

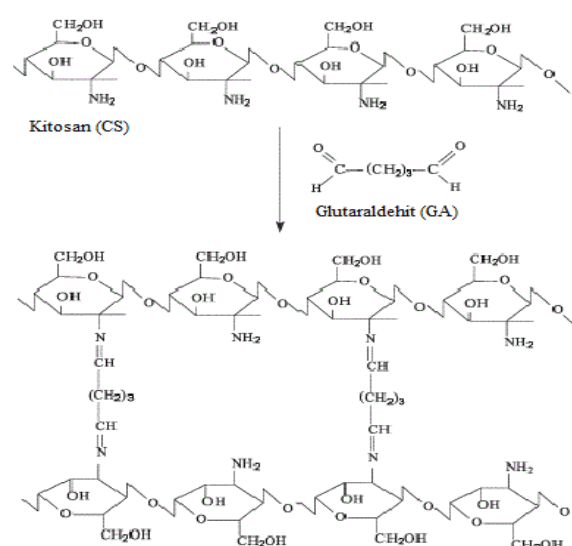


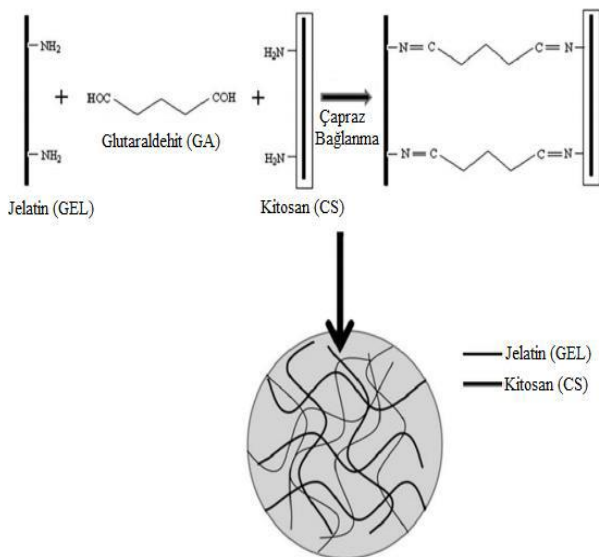
**Sekil 2.** CS ve HA'nın GA ile çapraz bağlanması



**Sekil 3.** CS-HA-2'nin oluşum mekanizması

**Sekil 4.** CS'nin GA ile çapraz bağlanması [16]



**Sekil 5.** CS-GEL'in oluşum mekanizması [17]

GEL-HA'nın sentezinde çapraz bağlayıcısı olarak 0.01 g MBA kullanılmış ve 0.01 g KPS ekleneerek 60°C'de 3 saat polimerize edilmiştir.

### 3.2. Karakterizasyon

Hidrojellerin molekül yapısı, 400-4000 cm<sup>-1</sup> dalga boyu aralığında (BRUKER, VERTEX 70 ATR, ABD) ile Fourier Dönüşümlü Kızılıötesi Spektroskopisi (FT-IR) spektrumları alınarak ve yüzey yapıları, taramalı elektron mikroskopu (SEM) (FEİ, QUANTA FEG 250, ABD) ile incelenmiştir.

### 3.3. Şişme Çalışmaları

Hidrojellerin kütlece yüzde şişme değeri (%S) ve denge durumunda kütlece şişme değeri (%Seq) (2) ve (3) ile hesaplanmaktadır [15].

$$\%S = \frac{(m_t - m_0)}{m_0} \times 100 \quad (2)$$

$$\%S_{eq} = \frac{(m_\infty - m_0)}{m_0} \times 100 \quad (3)$$

$m_0$  kuru jelin kütlesi,  $m_t$  t zamanında şışmış jelin kütlesi ve  $m_\infty$  dengede şışmış hidrojelin kütlesidir. Schott'un ikinci derece eşitliği kullanılarak kinetik analiz yapılabilir (4).

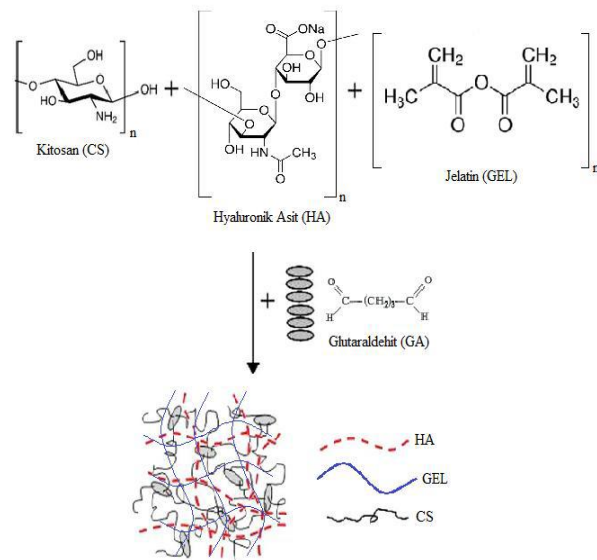
$$\frac{dS}{dt} = k_s (S_{eq} - S)^2 \quad (4)$$

Burada  $dS/dt$  şişme hızı,  $k_s$  şişme hız sabiti,  $S_{eq}$  hidrojelin t anından denge durumuna ulaşlığındaki şişme derecesi ve  $S$ , t anındaki şişme değeridir. Eşitlik 4'teki sınır koşulları  $t=0$  için  $S=0$  ve  $t=t$  de  $S=S_{eq}$  olarak matematiksel olarak düzenlenir ve integral alınırsa (5)'e dönüştürülebilir [18].

$$\frac{t}{s} = A + Bt \quad (5)$$

Başlangıçtaki  $[(dS/dt)_0]$  şişme hızının tersi  $A=1/k_s S_{eq}^2$  ve dengedeki şişmenin tersi olarak da  $B=1/S_{eq}$  verilmiştir (5) [19].

Fick kanunu hidrojellerin difüzyon türünün açıklanmasında ve şişme kinetiğinin belirlenmesinde temeldir. Şişebilen polimerlerin şişme kinetiği (6)'da gösterilmiştir [20].

**Sekil 6.** CS-HA-GEL hidrojelinin oluşum mekanizması

$$F = \frac{M_t}{M_\infty} = kt^n \quad (6)$$

Burada  $k$  difüzyon sabiti,  $M_t$  t anındaki çözücü kütlesi,  $M_\infty$  denge halindeki çözücü kütlesi ve  $n$  ise penetrant taşınım mekanizmasını gösteren şişme üstelidir [20].

Eşitlik 6'nın logaritmik temelde yazılmasıyla (7) elde edilir [21].

$$\ln(M_t / M_\infty) = \ln k + n \ln t \quad (7)$$

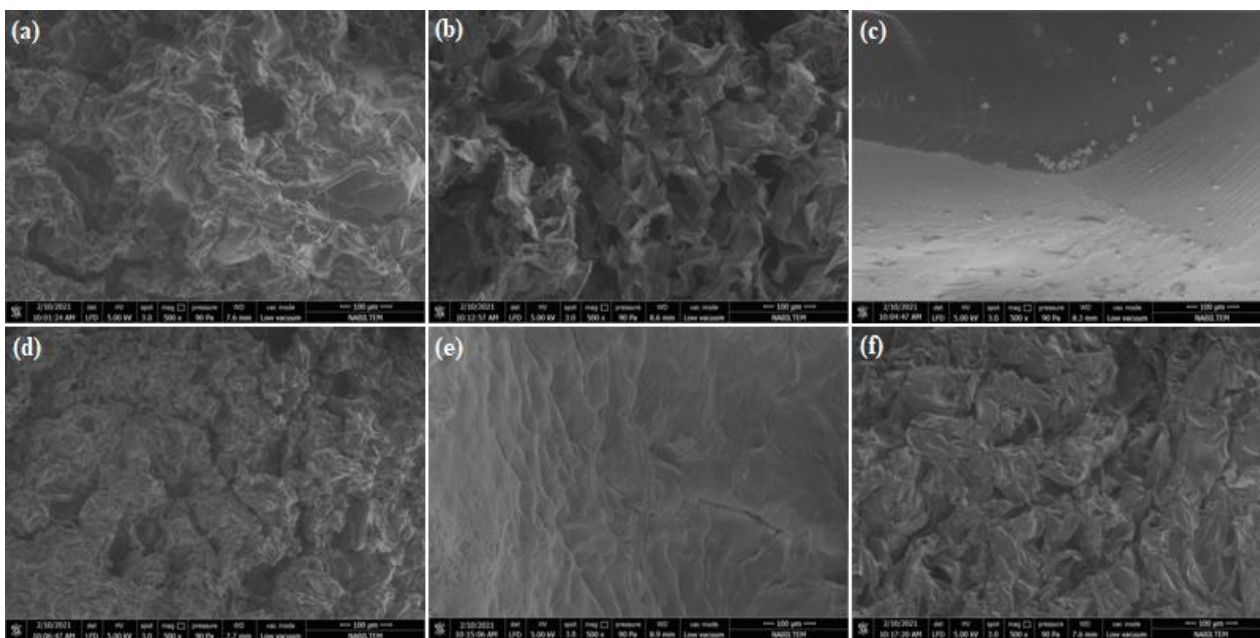
Eşitlik 7 ile  $t$ 'ye karşı  $M_t/M_\infty$ 'nın logaritmik eksen grafikleri,  $k$  ordinatı kesim noktası ve difüzyon üsteli  $n$ ;  $\ln F$  ve  $\ln t$  doğrusunun eğiminden hesaplanabilmektedir. Difüzyon türü şişebilen sistemlerde,  $n$ 'ye bağlı olarak belirlenmektedir [21].

Fick'in II. kanunun düzenlenmesiyle silindirik geometriye sahip yapıların difüzyon katsayısı bulunabilir. Difüzyon katsayı ( $D$ ),  $\ln F/\ln t$  grafiklerinden hesaplanan difüzyon sabiti  $k$  ve difüzyon üsteli  $n$ 'nin (8)'de kullanılmasıyla hesaplanır. Burada  $r$ , cm cinsinden şışmış hidrojelin yarıçap uzunluğuudur [21].

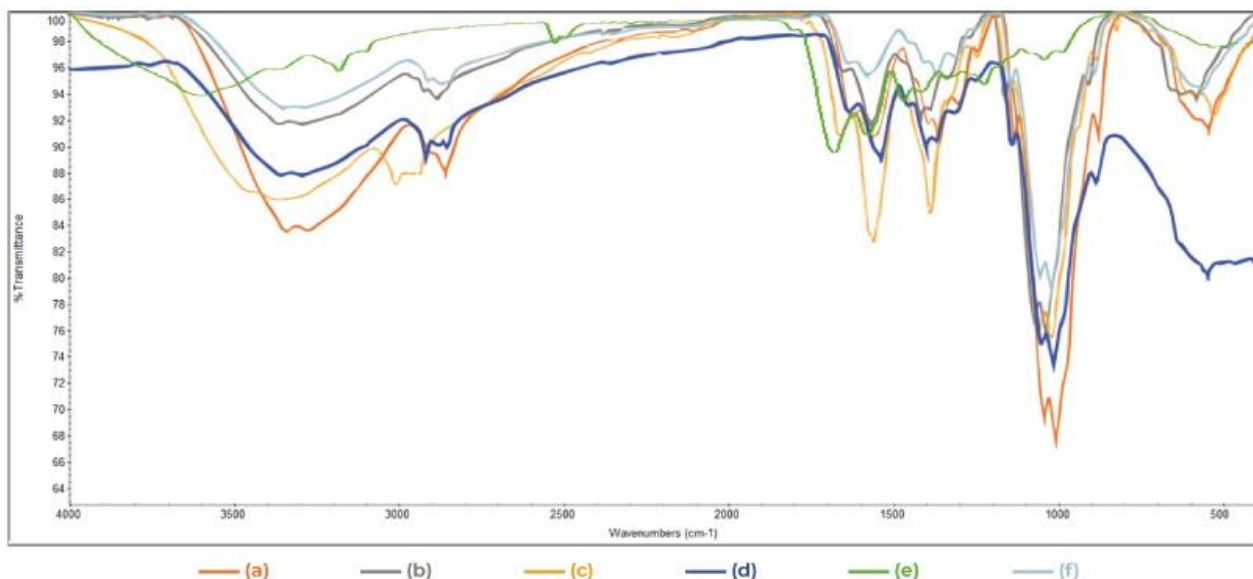
$$D = \pi r^2 \left(\frac{k}{4}\right)^{\frac{1}{n}} \quad (8)$$

### 4. Bulgular ve Tartışma

CS-2, CS-HA-1, CS-GEL ve CS-HA-GEL'in pürüzlü yüzey ve gözenekli yapıya CS-HA-2'nin ise pürüzsüz ve düzgün yüzey yapısına sahip olduğu görülmektedir. GEL-HA gözenekli yapıdadır. (Şekil 7). CS-2'de 3353.6 cm<sup>-1</sup>, CS-HA-1'de 3284.3 cm<sup>-1</sup>, CS-HA-2'de 3273.4 cm<sup>-1</sup>, CS-GEL'de 3288.2 cm<sup>-1</sup> ve CS-HA-GEL'de 3353.4 cm<sup>-1</sup>'de yayvan olarak gözlemlenen bant, moleküller arasındaki hidrojen bağları ve hidroksil gruplarının (O-H) etkisiyle gerçekleşmektedir [15]. Polimerlerin temel piklerinden  $sp^3$  hibritleşmesinin gerçekleştiği C-H gerilme titreşim bandı, CS-2'de 2874 cm<sup>-1</sup>'de, CS-HA-1'de 2874.4 cm<sup>-1</sup>'de, CS-HA-2'de 2921.2 cm<sup>-1</sup> ve 2872.4 cm<sup>-1</sup>'de, CS-HA-GEL'de 2873.7 cm<sup>-1</sup>'de görülmüştür (Şekil 8).



**Şekil 7.** SEM görüntülerleri (100 $\mu$ m) a)CS-2 b)CS-HA-1 c)CS-HA-2 d)CS-GEL e)GEL-HA f)CS/HA/GEL



**Şekil 8.** FT-IR spektrumlari a)CS-2 b)CS-HA-1 c)CS-HA-2 d)CS-GEL e)GEL-HA f)CS-HA-GEL

CS-2'de 1582.5  $\text{cm}^{-1}$ 'de görülen 'Schiff base' formasyonu yani C=N imin spesifik bandı, kitosan zincirlerindeki amin (-NH<sub>2</sub>) grubu ile GA'nın karbonil grubunun (C=O) reaksiyonu girdiğini göstermektedir [22]. Reaksiyonun varlığı ve gözlemlenen bant, yapının çapraz bağlandığını kanıtlamaktadır. HA'nın yapısındaki karboksil gruplarının (C=O) gerilme bandı CS-HA-1'de 1556.8  $\text{cm}^{-1}$ 'de ve CS-HA-2'de 1541.3  $\text{cm}^{-1}$ 'de gözlemlenmiştir. CS-GEL'in 1600  $\text{cm}^{-1}$  civarındaki tepe noktası C=O eğilme titreşiminden kaynaklanmaktadır. GEL-HA'da ise 1600  $\text{cm}^{-1}$  civarında C=O germe titreşiminin oluşturduğu pik görülmektedir (Şekil 8) [23].

GEL-HA'nın 1615  $\text{cm}^{-1}$  ve 1415  $\text{cm}^{-1}$ 'deki pikleri, karboksil gruplarının asimetrik ve simetrik germe titreşimi oluşturmaktadır [24]. GEL bileşenlerinden kaynaklanan CS-GEL'in 1546.3  $\text{cm}^{-1}$ 'deki ve GEL-HA'nın 1546.3  $\text{cm}^{-1}$ 'deki pikleri, C-N'in germe titreşimini ve ikincil amid N-H'nin bükülme titreşiminden kaynaklanmaktadır [23]. GEL-HA'nın

1450  $\text{cm}^{-1}$ 'deki tepe noktası, C-O esneme bandını göstermektedir [24]. CS-HA-1'de 1405.8  $\text{cm}^{-1}$ 'de tepe noktası C-H bükülme bantlarıdır. CS-2'de 1377  $\text{cm}^{-1}$ 'deki pik ise O-H gruplarının bükülme pikidir (Şekil 8).

CS hidrojellerinin parmak izi bölgesinde bilinen CS yapısından kaynaklanan spesifik eter bağı (C-O-C) ve primer alkollerin neden olduğu C-OH bağı sırasıyla, CS-2'de 1150.8  $\text{cm}^{-1}$  ve 1061.2  $\text{cm}^{-1}$ 'de, CS-HA-1'de 1151.2  $\text{cm}^{-1}$ , 1062.5  $\text{cm}^{-1}$ 'de ve 1027  $\text{cm}^{-1}$ 'de, CS-HA-2'de 1151.8  $\text{cm}^{-1}$  ve 1026  $\text{cm}^{-1}$ 'de ve CS-HA-GEL'de 1151.2  $\text{cm}^{-1}$ 'de ve 1027.9  $\text{cm}^{-1}$ 'de görülmüştür. Ayrıca HA'nın etkisiyle GEL-HA'de 1151.2  $\text{cm}^{-1}$  ve 1062.5  $\text{cm}^{-1}$  arasında C-O-C gerilim bantları oluşmuştur. GEL-HA'nın 1080  $\text{cm}^{-1}$ 'deki pik, C-H bükülmenin ester bandını göstermektedir (Şekil 8) [24].

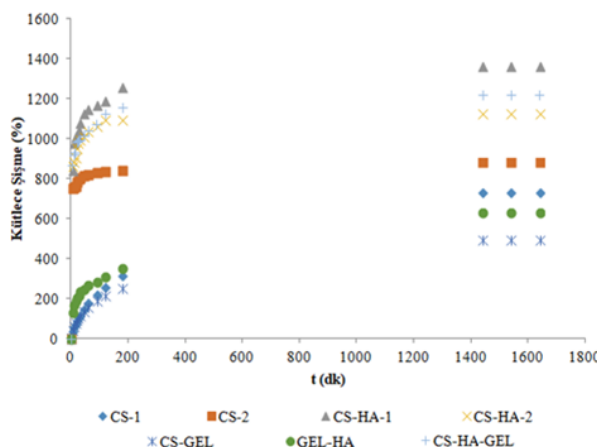
CS-HA-1 ve CS-HA-2 FTIR spektrumlari karakteristik olarak benzerlik gösterse de CS-HA-2'nin 600  $\text{cm}^{-1}$ 'deki piki HAP'in hidrosilik ionlarının titreşiminden kaynaklanmaktadır. Ayrıca CS-HA-2'deki 1026  $\text{cm}^{-1}$  ve 558.7  $\text{cm}^{-1}$ 'deki pikleri HAP'taki

fosfat eğilme titreşimi ifade etmektedir.  $1060\text{ cm}^{-1}$  civarında ve  $897\text{ cm}^{-1}$  deki tepe noktaları da HAP'taki fosfat titreşimi ve fosfat gerilmesidir. CS-HA-2 FTIR spektrumu üzerinde görülen tüm karakteristik tepe noktaları, CS, HA ve HAP arasında herhangi bir kimyasal reaksiyon olmadığını kanıtlamıştır. Ayrıca CS-HA-1'de  $880\text{ cm}^{-1}$  civarındaki tepe noktası CS ve HA'nın CHO grupları arasında oluşan reaksiyonu kanıtlamaktadır (Şekil 8).

Şekil 8'deki CS-HA-GEL spektrumu üzerinde CS, HA ve GEL'e ait karakteristik piklerin görülmesi bu hidrojelde üç polimerin varlığını kanıtlamaktadır [25].

Hidrojellerin FTIR spektrumu değerlendirildiğinde, CS-2 ve CS-HA-2'in Taşdelen ve diğerleri, CS-HA-1'in Tomihata ve Ikadan, CS-GEL'in Lv ve diğerleri, GEL-HA'in Zhang ve diğerleri ve CS-HA-GEL'in Bazmandeh ve diğerleri tarafından yapılan çalışmalarla elde edilen verilerle uyumlu olduğu görülmüştür (Şekil 8) [15, 23-26].

Hidrojellerin distile su içerisindeki kütlece şişmeleri (2) ile hesaplanarak Şekil 9'da verilmiştir.



**Şekil 9.** Hidrojellerin kütlece şişmeleri

En yüksek kütlece şişme CS-HA-1'de görülmüştür. CS'ye HA eklenmesiyle kütlece şişmenin arttığı saptanmıştır (Şekil 9). Bu durum HA'nın yüksek su tutma yeteneği, yapıya esneklik sağlama ve gözenek boyutlarını artırmasıyla olmaktadır [17]. CS-HA-GEL'nin CS-GEL, GEL-HA ve CS-HA-2'den daha yüksek; CS-HA-1'den daha düşük kütlece şişmeye sahip

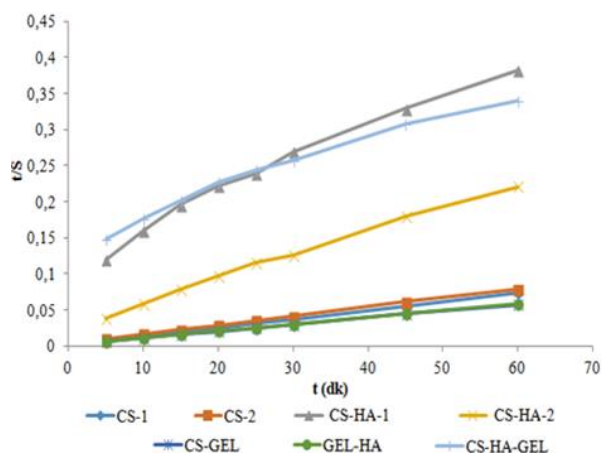
olduğu görülmüştür (Şekil 9).

Kütlece en düşük şişme ise CS-GEL'de gözlemlenmiş ve GEL-HA'nın kütlece şişmesi en düşük olan ikinci hidrojel olduğu belirlenmiştir (Şekil 9). GEL'in kütlece şişmeyi azalttığı saptanmıştır. CS'ye GEL eklendiğinde polimer zincirleri arasında fiziksel dolaşma gerçekleşerek yapının yoğunluğu artmaktadır. Bu yoğunluk artışı da kütlece şişmenin azalmasına sebep olmaktadır [23].

#### 4.1 Şişme Kinetiği

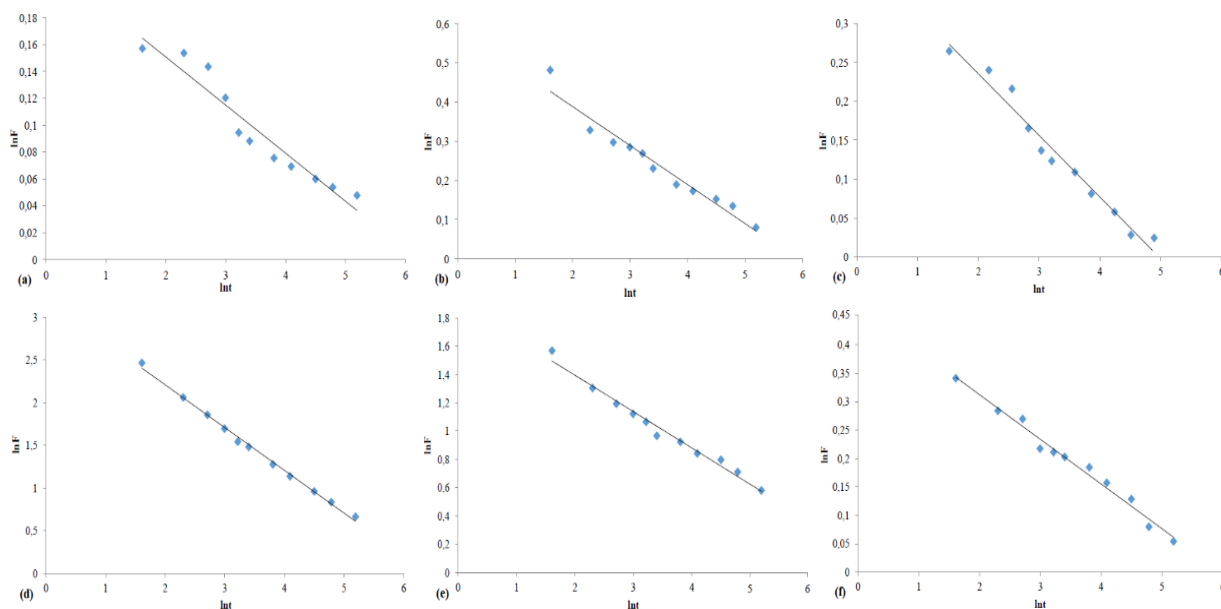
Schott'un hidrojellerin yüksek hacimlerde şişmesini ikinci derece kinetik ile açıklayan model (4) ve (5)'te tanımlanmıştır. Fick Kanunu ise hidrojellerin şişmesini transportun, difüzyonun konsantrasyon gradiyentine bağlııyla açıklamaktadır. Polimer yapılarının difüzyon mekanizmasındaki "güç kanunu modeli" (6)'da verilmiştir [27]. Güç kanunu modelinde (7) kullanılarak difüzyonel üstel n ve k değerleri bulunur ve (8) ile hidrojellerin difüzyonu belirlenir.

Hidrojellerin distile suda dinamik şişme testleriyle kütlece şişmelerinden t/S grafikleri oluşturulmuştur (Şekil 10).



**Şekil 10.** Hidrojellerin t/S oranlarının zamana göre değişimi

Kütlece şişmeler (7)'de kullanılarak hidrojellerin lnF/Int grafikleri oluşturulmuştur (Şekil 11). t/S grafiklerinin eğimi (5)'te kullanılarak  $S_{eq}$  (Teorik) ve  $k_s$  değerleri hesaplanmıştır. lnF/Int grafiklerinin eğimleri de (8)'de kullanılarak hidrojellerin difüzyonu belirlenmiştir (Tablo 2).



**Şekil 11.** Hidrojellerin  $\ln F/Int$  grafikleri a) CS-2 b) CS-HA-1 c) CS-HA-2 d) CS-GEL e) GEL-HA f) CS-HA-GEL

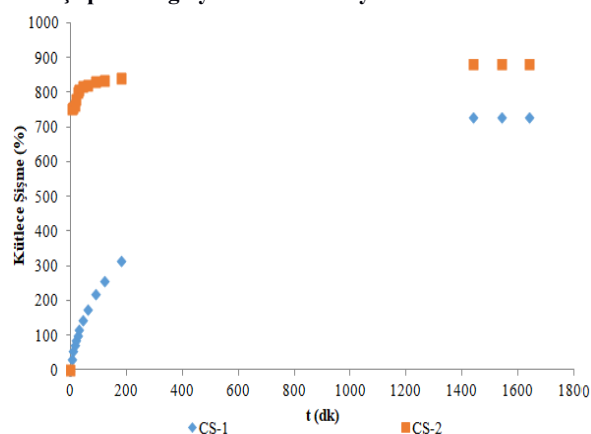
**Tablo 2.** Hidrojellerin jelleşme yüzdeleri,  $S_{eq}$  değerleri ve difüzyon

Hidrojel	Jelleşme (%)	$S_{eq}$ (Teorik)	$S_{eq}$ (Uygulama)	$k_s \times 100$	$k_x \times 100$	n	D ( $\text{cm}^2/\text{dk}$ )
CS-1	92	434.8	728.3	0.003	36.8	0.18	$4.31 \times 10^{-24}$
CS-2	86	833.3	882.1	0.09	80.1	0.04	$3.71 \times 10^{-23}$
CS-HA-1	87	1250	1363	0.017	55.6	0.09	$2.14 \times 10^{-10}$
CS-HA-2	91	1111	1124.5	0.027	67.5	0.07	$1.60 \times 10^{-12}$
CS-GEL	84	303.1	490.8	0.007	4.04	0.49	$6.3 \times 10^{-25}$
GEL-HA	84	370.4	630.5	0.017	14.8	0.26	$2.54 \times 10^{-24}$
CS-HA-GEL	87	1111	1223.2	0.021	62.5	0.08	$2.39 \times 10^{-12}$

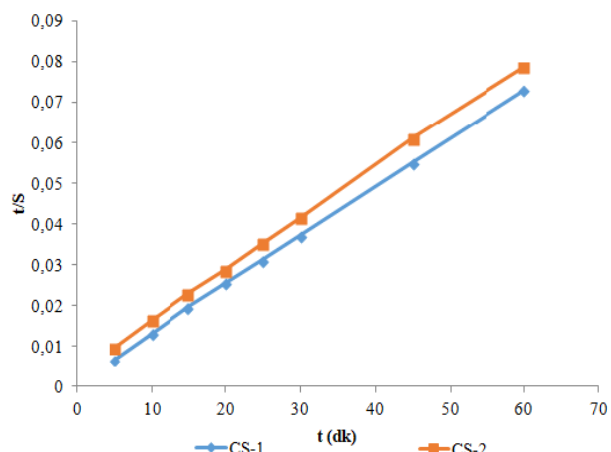
Hidrojellerin şişmesi Schott'un ileri sürdüğü modele ve ikinci dereceden difüzyon kinetiğine uymaktadır (Şekil 10). Hidrojellerin şişmesinin denge anına ulaştığı  $S_{eq}$  (Uygulama) ve hesaplanan  $S_{eq}$  (Teorik) verileri birbirleriyle uyumludur (Tablo 2).

Hidrojellerin kütlece şişmeleri arttıkça difüzyonlarının da arttığı gözlemlenmiştir. Hidrojellerin n değerleri 0.5'ten küçük olduğundan Fickian difüzyon mekanizması görülmüştür. Hidrojellerin jelleşme yüzdeleri %84 ile %92 arasındadır (Tablo 2).

#### 4.2. Çapraz Bağlayıcı Konsantrasyonu Etkisi



**Şekil 12.** Farklı konsantrasyonda çapraz bağlayıcı ile sentezlenen CS hidrojellerinin kütlece şişmeleri

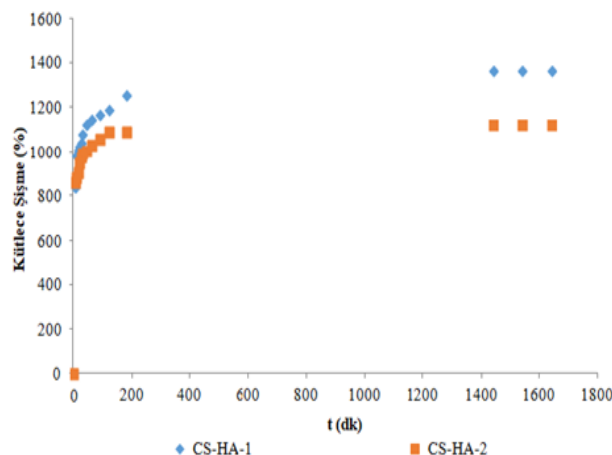


**Şekil 13.** Farklı konsantrasyonda çapraz bağlayıcı ile sentezlenen CS hidrojellerinin  $t/S$  değişimi

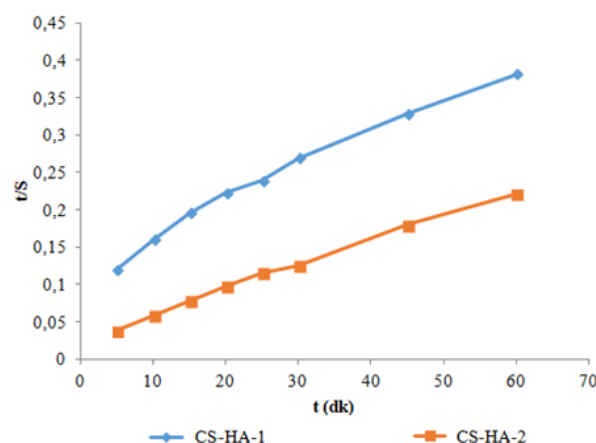
CS-2 (%0.4 GA)'nın CS-1 (%0.6 GA)'e göre daha yüksek kütlece şişme ve t/S oranına sahip olduğu gözlemlenmiştir (Şekil 12-13). GA derişiminin artmasıyla kütlece şişme azalmakta ve difüzyon hızı yavaşlamaktadır. Çapraz bağlayıcının yüksek derişimde olması polimer zincirlerinin birbirine daha sıkı bağlanması ve yapıdaki boşlukların azalmasıyla beraber gözeneklerin daralmasına neden olmaktadır. Bu durum yüksek derişimde kütlece şişmede azalma ve difüzyonda yavaşlama meydana getirmektedir [28].

### 4.3. Farklı Çapraz Bağlayıcı Etkisi

CS-HA'da çapraz bağlayıcı olarak GA'nın tercih edilmesi HAP'a göre daha yüksek kütlece şişme ve t/S oranı sağlamıştır (Şekil 14-15). HAP, polimer zincirlerini daha sıkı bağladıından daha az miktarda çözücü hidrojel yapısına girebilmektedir. Bu durum HAP'ın çapraz bağlayıcı kullanımında daha düşük ve yavaş kütlece meydana getirmektedir.



Şekil 14. Farklı çapraz bağlayıcılarla sentezlenen CS-HA'ların kütlece şişmeleri



Şekil 15. Farklı çapraz bağlayıcılarla sentezlenen CS-HA'ların t/S değişimi

## 5. Sonuçlar

Yumuşak doku genişleticiler, klinikte cerrahi uygulamalarda kullanılmaktadır. Yumuşak dokuların genişletilmesindeki üstünlükleri sebebiyle hidrojeller sıkça tercih edilmektedir. Biyomedikal alanda yumuşak doku genişleticilerin pek çok kullanımı bulunmaktadır. Özellikle dental implant uygulamalarında osseointegrasyonun sağlanmasıında yumuşak doku genişleticiler hayatı önem taşımaktadır.

Bu çalışmada, geliştirilmiş difüzyon ve şişme yeteneğine sahip yeni yumuşak doku genişletici hidrojellerin belirlenmesi amacıyla kitosan (CS), hyaluronik asit (HA) ve jelatin (GEL) biyoyumlu doğal polimerleri kullanılmıştır. Hidrojelerin, karakterizasyonu gerçekleştirileerek distile sudaki şişme kinetikleri incelenmiştir.

CS-1, CS-2, CS-HA-1, CS-GEL ve CS-HA-GEL -20 °C'de dondurarak ve CS-GEL serbest radikal zincir polimerizasyonu ile oda sıcaklığında jelleştirilmiştir. CS-HA-2 gama

radyasyonla işinlanarak sentezlenmiştir. Hidrojellerin jelleşme yüzdeleri %84-92 arasındadır. FTIR spektroskopisi ve SEM analizleri literatürdeki çalışmalarla uyumludur ve hidrojellerin başarılı şekilde hazırlanlığının kanıtıdır.

Çapraz bağlayıcı konsantrasyonunun artmasıyla kütlece şişmenin ve şişme hızının azaldığı belirlenmiştir. Çapraz bağlayıcının yüksek derişimde olması polimer zincirlerinin birbirine daha sıkı bağlanması neden olduğundan hidrojel yüzeyindeki gözenekler daralmaktır ve kütlece şişmede azalmaktadır. Çaprak bağlayıcı olarak GA kullanımının HAP'a göre daha fazla ve daha hızlı kütlece şişmeye neden olduğu gözlemlenmiştir. HAP, polimer zincirlerini daha sıkı bağladıından hidrojel içeresine daha az miktarda çözücü molekül girebilmektedir. Bu durum da kütlece daha az ve yavaş şişmeye neden olmaktadır.

CS-HA-1 en yüksek kütlece şişmeye sahiptir. HA'nın yüksek miktarda su tutma kabiliyeti bilinmektedir. CS'ye HA ilave edilmesiyle hidrojel yapısının esnekliği ve gözenek boyutları artmıştır. GA çapraz bağlayıcısı CS ve HA zincirleri arasında ideal bağlanma sağlamıştır. CS'ye HA eklenmesiyle kütlece şişme kabiliyetinde gelişme sağlanmıştır. CS-GEL ise kütlece en düşük şişme göstermiştir. CS'ye GEL eklendiğinde, polimer zincirleri birbirleriyle fiziksel olarak dolaşmaktadır. Bu durum hidrojel yapısının yoğunluğunu arttırdıktan kütlece şişme azalmaktadır. GEL'in kütlece şişmeyi düşürdüğü saptanmıştır. Hidrojellerin şişmeleri Schott'un ileri sürdüğü modele ve ikinci dereceden difüzyon kinetiğine uymaktadır. Kütlece şişme yüzdeleri arttıkça difüzyon katsayıları da artmaktadır. Hidrojellerin n değerleri 0,5'ten küçüktür. Fickian difüzyon mekanizması görülmüştür.

Veriler, en yüksek kütlece şişmeye ve en uygun şişme profiline sahip hidrofilik yapılı CS-HA-1 hidrojelinin biyomedikal uygulamalarda yumuşak doku genişletici olarak kullanılabileceği göstermektedir.

## Yazar Katkısı

Literatür taraması – Ö.F.G; Araştırma – Ö.F.G; Deneysel performans – Ö.F.G; Yazan – Ö.F.G; İnceleme ve düzenlemeye – B.T., U. A.

## Çıkar Çatışması Beyanı

Yazarlar, bu makalenin araştırılması, yazarlığı ve/veya yayınılanması ile ilgili olarak herhangi bir çıkar çatışması beyan etmemiştir.

## Kaynaklar

- [1] Caló, E. ve Khutoryanskiy, V.V., "Biomedical Applications of Hydrogels: A Review of Patents and Commercial Products", *European polymer journal*, 65., 252-267, 2015.
- [2] Zohouriaan-Mehr, M. ve Kabiri, K., "Superabsorbent Polymer Materials: A Review", *Iranian polymer journal*, 17(6), 451-447, 2008.
- [3] Yang, J.M., Olanrele, O.S., Zhang, X., Hsu, C.C., "Fabrication of Hydrogel Materials for Biomedical Applications", *Advances in experimental medicine and biology*, 1077., 197–224, 2018.
- [4] Küçükkurt, S. ve Alpaslan, G., "Yumuşak Doku Genişletici Materyaller ve Oral & Maksillofasiyal Cerrahide

Kullanımları", *Atatürk üniversitesi diş hekimliği fakültesi dergisi*, 26(4), 0-0, 2016.

[5] Wiese, K.G., "Osmotically Induced Tissue Expansion with Hydrogels: A New Dimension in Tissue Expansion? A Preliminary Report", *Journal of cranio-maxillo-facial surgery: official publication of the european association for cranio-maxillo-facial surgery*, 21(7), 309–313, 1993.

[6] Pikos, M.A., "Block Autografts for Localized Ridge Augmentation: Part II. The Posterior Mandible", *Implant dentistry*, 9(1), 67–75, 2000.

[7] Kaner, D. ve Friedmann, A., "Soft Tissue Expansion with Self-Filling Osmotic Tissue Expanders Before Vertical Ridge Augmentation: A Proof of Principle Study", *Journal of clinical periodontology*, 38(1), 95–101, 2011.

[8] Von See, C., Gellrich, N.C., Jachmann, U., Laschke, M.W., Bormann, K.H., Rücker, M., "Bone Augmentation After Soft-Tissue Expansion Using Hydrogel Expanders: Effects on Microcirculation and Osseointegration", *Clinical oral implants research*, 21(8), 842–847, 2010.

[9] Neumann, C.G., "The Expansion of An Area of Skin by Progressive Distention of A Subcutaneous Balloon; Use of the Method for Securing Skin for Subtotal Reconstruction of the Ear", *Plastic and reconstructive surgery (1946)*, 19(2), 124–130, 1957.

[10] Austad, E.D. ve Rose, G.L., "A Self-Inflating Tissue Expander", *Plastic and reconstructive surgery*, 70(5), 588–594, 1982.

[11] Downes, R., Lavin, M., Collin, R., "Hydrophilic Expanders for the Congenital Anophthalmic Socket", *Advances in ophthalmic plastic and reconstructive surgery*, 9, 57–61, 1992.

[12] Zeiter, D.J., Ries, W.L., Weir, T.L., Mishkin, D.J., Sanders, J.J., "The Use of A Soft Tissue Expander in An Alveolar Bone Ridge Augmentation for Implant Placement", *The international journal of periodontics & restorative dentistry*, 18(4), 403–409, 1998.

[13] Miranda, D.G., Malmonge, S.M., Campos, D.M., Attik, N.G., Grosgogeat, B., Gritsch, K., "A Chitosan-Hyaluronic Acid Hydrogel Scaffold for Periodontal Tissue Engineering", *Journal of biomedical materials research, part B: applied biomaterials*, 104(8), 1691–1702, 2016.

[14] Ahmadian, E., Eftekhari, A., Dizaj, S.M., Sharifi, S., Mokhtarpour, M., Nasibova, A.N., Khalilov, R., Samiei, M., "The Effect of Hyaluronic Acid Hydrogels on Dental Pulp Stem Cells Behavior", *International journal of biological macromolecules*, 140, 245–254, 2019.

[15] Taşdelen, B., Erdoğan, S., Bekar, B., "Radiation Synthesis and Characterization of Chitosan/Hyaluronic Acid/Hydroxyapatite Hydrogels: Drug Uptake and Drug Delivery Systems", *Materials today: proceedings*, 5(8), 15990–15997, 2018.

[16] Gonçalves, V.L., Laranjeira, M.C.M., Fávere, V.T., Pedrosa, R.C., "Effect of Crosslinking Agents on Chitosan Microspheres in Controlled Release of Diclofenac Sodium", *Polímeros: ciência e tecnologia*, 15(1), 6-12, 2005.

[17] Kathuria, N., Tripathi, A., Kar, K.K., Kumar, A., "Synthesis and Characterization of Elastic and Macroporous Chitosan-Gelatin Cryogels for Tissue Engineering", *Acta biomaterialia*, 5(1), 406–418, 2009.

[18] Peniche, C., Cohen, M.E., Vazquez, B., Roman, J.S., "Water Sorption of Flexible Networks Based on 2-Hydroxyethyl Methacrylate-Triethylenglycol Dimethacrylate Copolymers", *Polymer*, 38(24), 5977-5982, 1997.

[19] Azizian S., "Kinetic Models of Sorption: A Theoretical Analysis", *Journal of colloid and interface science*, 276(1), 47–52, 2004.

[20] Peppas, N.A. ve Franson, N.M., "The Swelling Interface Number As A Criterion for Prediction of Diffusional Solute Release Mechanisms in Swellable Polymers", *Journal of polymer science: polymer physics edition*, 21(6), 983–997, 1983.

[21] Dengre, R., Bajpai, M., Bajpai, S.K., "Release of Vitamin B12 from poly(N-vinyl-2-pyrrolidone)-Crosslinked Polyacrylamide Hydrogels: A Kinetic Study", *Journal of applied polymer science*, 76, 1706-1714, 2000.

[22] Drury, J.L., ve Mooney, D.J., "Hydrogels for Tissue Engineering: Scaffold Design Variables and Applications", *Biomaterials*, 24(24), 4337–4351, 2003.

[23] Lv, B., Bu, X., Da, Y., Duan, P., Wang, H., Ren, J., Ma, J., "Gelatin/PAM Double Network Hydrogels with Super-Compressibility", *Polymer*, 210(23), 123021, 2020.

[24] Zhang, F., He, C., Cao, L., Feng, W., Wang, H., Mo, X., Wang, J., "Fabrication of Gelatin-Hyaluronic Acid Hybrid Scaffolds with Tunable Porous Structures for Soft Tissue Engineering", *International journal of biological macromolecules*, 48(3), 474–481, 2011.

[25] Bazmandeh, A.Z., Mirzaei, E., Fadaie, M., Shirian, S., Ghasemi, Y., "Dual Spinneret Electrospun Nanofibrous/Gel Structure of Chitosan-Gelatin/Chitosan-Hyaluronic Acid As A Wound Dressing: In-vitro and In-vivo Studies", *International journal of biological macromolecules*, 162., 359–373, 2020.

[26] Tomihata, K. ve Ikada, Y., "Crosslinking of Hyaluronic Acid with Glutaraldehyde", *Journal of polymer science, part A: polymer chemistry*, 35(16), 3553-3559, 1997.

[27] Ganji, F., Vasheghani-Farahani, S., Vasheghani-Farahani, E., "Theoretical Description of Hydrogel Swelling: A Review", *Iranian polymer journal*, 19(5), 375-398, 2010.

[28] Doğu, Y. ve Okay, O., "Swelling-Deswelling Kinetics of poly(N-isopropylacrylamide) Hydrogels Formed in PEG Solutions", *Journal of applied polymer science*, 99(1), 37–44, 2006.